

Materiales h bridos en qu mica anal tica

Ram3n Mart nez,* F lix Sancen3n, Katrin Hoffman, Knut Rurack y Ana Belen Descalzo

Resumen: El desarrollo de receptores sint ticos complejos basados en conceptos de la qu mica supramolecular no garantiza en ocasiones un reconocimiento molecular selectivo. Una alternativa en ciertos aspectos m s simple y prometedora es el empleo de materiales h bridos org nico-inorg nicos preparados mediante la funcionalizaci3n de s3lidos inorg nicos porosos con receptores sint ticos adecuados. El anclaje de estos sistemas coordinantes a un soporte s3lido da lugar a ciertos efectos sin rgicos que no est n presentes ni en el material inicial ni en el receptor por separado y que sugieren que estos nuevos materiales h bridos pueden ser empleados en el desarrollo de nuevos sensores y nuevos protocolos de reconocimiento molecular y/o i3nico.

Palabras clave: Soportes inorg nicos, receptores sint ticos, materiales h bridos, efectos sin rgicos, qu mica anal tica.

Abstract: The development of synthetic receptors based in supramolecular chemistry concepts will no allow a selective molecular recognition. A more simple, convenient and innovative approach relies on the use of organic-inorganic hybrid materials. These hybrid materials will be prepared by the grafting of certain synthetic receptors onto porous inorganic solids. The grafting of these coordinating systems onto a solid support leads to synergic effects that are hardly achievable with only the synthetic receptors or the solids alone. The presence of these synergic effects suggests that these organic-inorganic hybrid materials will be used for the development of novel sensory systems and novel molecular and/or ionic recognition protocols.

Keywords: Inorganic supports, synthetic receptors, hybrid materials, synergic effects, analytical chemistry.

Introducci3n

El campo de la qu mica supramolecular ha tenido un gran auge en los  ltimos 20 a os siendo la preparaci3n de receptores sint ticos para el reconocimiento molecular una de las l neas de investigaci3n que m s inter s ha despertado.^[1] Estos receptores sint ticos han evolucionado desde estructuras muy simples (generalmente con una sola unidad coordinante) hasta mol culas muy complejas (con varias unidades coordinantes de distinta naturaleza preorganizadas espacialmente) con el objeto de aumentar la selectividad hacia ciertas especies.^[2-5] Sin embargo, en muchas ocasiones el esfuerzo sint tico en la preparaci3n de receptores no se ve recompensado con un reconocimiento molecular selectivo. Adem s, la mayor a de los receptores preparados funcionan mucho peor en condiciones anal ticas reales que en las condiciones en las que se realizan los estudios de coordinaci3n. Como muestran ciertos trabajos publicados recientemente, una alternativa a estas aproximaciones cl sicas es la posible utilizaci3n de materiales h bridos preparados por simple funcionalizaci3n de s3lidos nanosc3picos inorg nicos, como los empleados en nanotecnolog a y en cat lisis, combinados con conceptos de qu mica supramolecular.^[6-11] Algunos de estos sistemas muestran de manera interesante que el anclaje de los receptores en determinados soportes nanom tricos puede originar ciertos efectos sin rgicos que no est n presentes ni en el material inicial ni en el receptor por separado y que apuntan hacia

que algunos de estos materiales h bridos puedan ser empleados en el desarrollo de nuevos sensores y nuevos protocolos de reconocimiento molecular y/o i3nico. Estos sistemas est n basados en la interconexi3n de soportes inorg nicos con biomol culas,^[12] con grupos funcionales org nicos, con colorantes o con receptores moleculares simples.^[13] En los ejemplos que siguen se intenta mostrar como la qu mica anal tica puede beneficiarse de efectos cooperativos generados por la combinaci3n de conceptos supramoleculares con ciertos andamios nanom tricos.

Concentraci3n efectiva y aumento de la se al

Las sondas moleculares o sensores qu micos son mol culas con capacidad de indicar la coordinaci3n con un analito determinado a trav s del cambio de una propiedad f sica. Son especialmente  tiles aquellos sensores qu micos en los que la coordinaci3n con el analito es capaz de inducir cambios de color o de fluorescencia. Generalmente la generaci3n de se al es un proceso en dos pasos: en primer lugar la coordinaci3n selectiva del analito de inter s y en segundo lugar la transducci3n del proceso microsc3pico de la coordinaci3n en una respuesta espectrosc3pica (o en ocasiones electroqu mica). En este apartado presentaremos varios ejemplos de c3mo, mediante el empleo de materiales h bridos org nico-inorg nicos, se puede obtener una amplificaci3n tanto del evento microsc3pico de la coordinaci3n como de la se al macrosc3pica que se genera.

Se ha descrito que la funcionalizaci3n de materiales s3lidos con mol culas receptoras simples de manera que las unidades coordinantes se ordenen formando una monocapa en la superficie del material puede producir un aumento del proceso (supra)molecular de coordinaci3n del analito conocido como "efecto quelato superficial".^[14] Este efecto puede ser utilizado adicionalmente para la mejora de la detecci3n 3ptica o fluorim trica del analito si, por ejemplo, la mol cula receptora anclada en la superficie cuenta con una unidad indicadora. Siguiendo este esquema conceptual, se ha descrito un material siliceo mesoporoso del tipo MCM-41^[15] funcionalizado con grupos alquilaminoantraceno que ha sido empleado para la detecci3n fluorescente del anion adenosin trifosfato (ATP,



R. Mart nez^a F. Sancen3n^a K. Hoffman^b K. Rurack^b A.B. Descalzo^a

^aInstituto de Qu mica Molecular Aplicada. Departamento de Qu mica. Universidad Polit cnica de Valencia.

C-e: rmaez@qim.upv.es

^bDiv. 1.5. Bundesanstalt f r Materialforschung und -pr fung (BAM). Berl n-Alemania

Recibido: 16/02/2007. Aceptado: 06/03/2007.

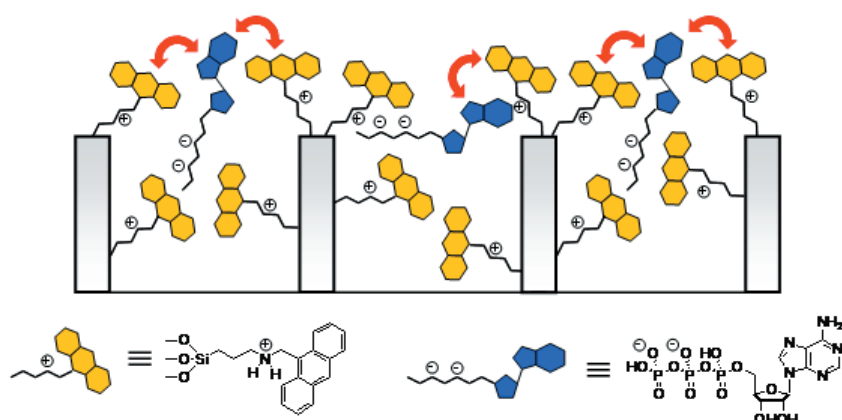


Figura 1. Silice mesoporosa del tipo MCM-41 funcionalizada con grupos aminoantraceno protonados para la detecci3n de ATP. Las flechas rojas indican interacciones de tipo π y desactivaci3n de la fluorescencia por transferencia electr3nica.

Figura 2. Una superficie funcionalizada con grupos dansilo asegura la proximidad espacial necesaria para una comunicaci3n 3ptima entre las unidades coordinadas y las no coordinadas. Esto conlleva una amplificaci3n de la se al. Las flechas rojas indican el mecanismo de la desactivaci3n de la fluorescencia por la presencia del analito.

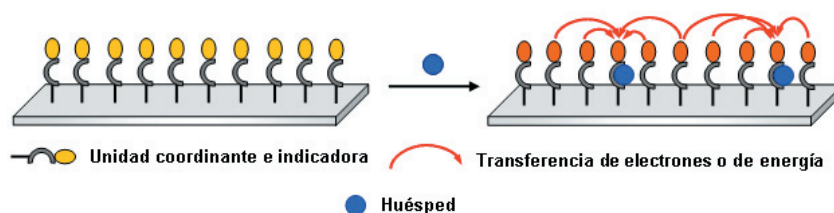


Figura 1).^[16] En este material el grupo amino secundario protonado es el que coordina con el an n ATP²⁻ mientras que el antraceno act a como unidad indicadora y, adicionalmente, estabiliza la coordinaci3n a trav s de interacciones de tipo π . Como los grupos amonio cuaternarios est n colocados formando una monocapa con carga positiva, muy densa y con alta capacidad coordinante se produce una gran ventaja estadística en relaci3n a la coordinaci3n en clara analogía con el "efecto quelato superficial" descrito anteriormente. Esto  ltimo se traduce en una constante de asociaci3n entre el material h brido y el ATP²⁻ que es superior en dos 3rdenes de magnitud a la que presenta la sonda molecular libre en disoluci3n. Como el antraceno tambi n act a como unidad indicadora la presencia del ATP²⁻ es detectada mediante una desactivaci3n de su fluorescencia a trav s de un proceso de transferencia electr3nica entre el antraceno y la adenina en suspensiones acuosas a pH  cido. La estructura mesoporosa regular que presenta la MCM-41 favorece la obtenci3n de un aumento en la respuesta frente a ATP²⁻ debido a un aumento de la concentraci3n efectiva de dicho an n en la superficie del material.

Adem s de una mejora en la capacidad de reconocimiento, la preorganizaci3n en superficies s3lidas tambi n puede producir amplificaciones en la se al macrosc3pica. Un ejemplo de esta amplificaci3n de se al se produce al anclar fluor3foros con capacidad para interaccionar con ciertos analitos como es el caso de ciertos derivados dansilicos (dansilo = 5-dimetilamino-1-naftalenosulfonilo) en soportes inorg nicos (en este caso nanop rticulas de silice).^[17] La coordinaci3n parcial de los grupos dansilo con ciertos iones met licos produce una gran desactivaci3n de la fluorescencia, no s3lo del grupo dansilo que esta coordinado con el i3n met lico sino que tambi n de dansilos libres (Figura 2). Se produce as  una amplificaci3n en la respuesta 3ptica, ya que en la modulaci3n de la se al se ven implicadas m s unidades fluorescentes de las que realmente est n coordinando a iones met licos. Se ha comprobado que un solo i3n Cu²⁺ es capaz de producir la desactivaci3n de la fluorescencia de 13 grupos dansilo.

Una estrategia relacionada ha sido empleada para la preparaci3n de materiales sensores para cationes como Cu²⁺, Co²⁺, Ca²⁺ y Pb²⁺ mediante el empleo de monocapas autoensambladas en sustratos de vidrio. En este caso la superficie ha sido co-funcionalizada con dos unidades: (i) receptores con capacidad para coordinar con cationes y (ii) con colorantes fluorescentes.^[18] De esta forma se han preparado monocapas sensoras modulables mediante m todos de qu mica combinatoria y a partir de mol culas receptoras simples y fluor3foros comerciales. Esta colecci3n de monocapas autoensambladas presentan diferentes grados de selectividad y sensibilidad y son uno de los primeros sistemas sensores h bridos con capacidad para detectar cationes met licos en agua mediante cambios en fluorescencia.

Detecci3n mediante procesos de agregaci3n

Otro mecanismo de detecci3n ampliamente utilizado, que aprovecha la preorganizaci3n de mol culas org nicas en materiales inorg nicos, opera a trav s de cambios de color que se producen por agregaci3n de nanop rticulas de oro. Estas nanop rticulas de oro presentan bandas "plasm3n" de absorci3n muy caracter sticas. La agregaci3n o desagregaci3n de est s nanop rticulas en disoluci3n inducida por un analito puede provocar cambios de color generados por la inducci3n mutua de dipolos, que es funci3n del tama o de los agregados y de la distancia interpart cula. Este fen3meno puede ser explotado para la detecci3n colorim trica de ciertos analitos.

Un ejemplo significativo es la obtenci3n de un biosensor con alta sensibilidad hacia Pb²⁺, basado en el uso de nanop rticulas de oro funcionalizadas con ADN que sufren un proceso de agregaci3n inducido por el ADN catal tico ("DNAzyme").^[19] En presencia de este cati3n met lico la DNAzyme rompe la doble h lice de ADN, que asegura la agregaci3n de las nanop rticulas, produci ndose un cambio de color de azul a rojo indicativo de la desagregaci3n de las nanop rticulas.

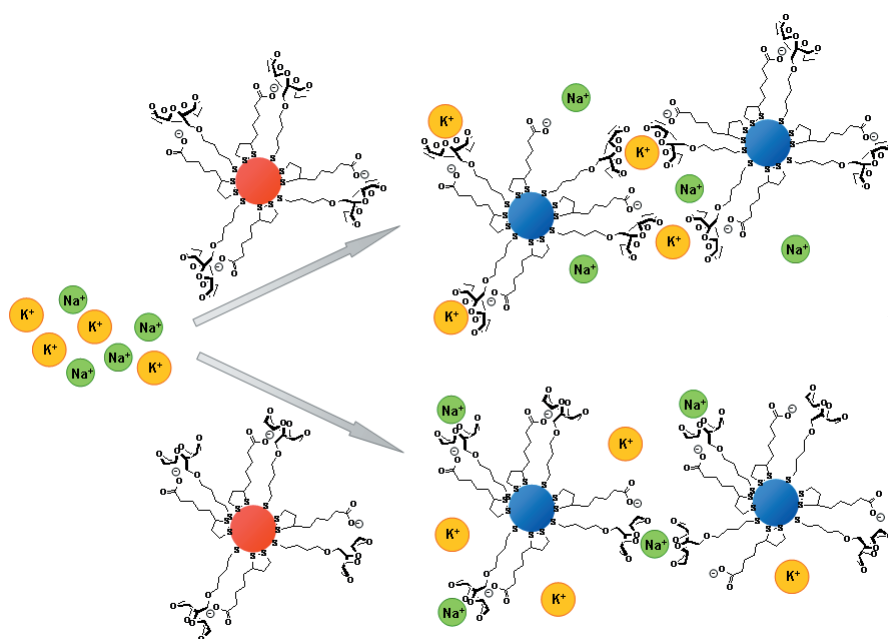


Figura 3. Dibujo esquem tico de la agregaci n de nanopart culas de oro funcionalizadas con alquitol- teres corona /  cido ti tico / alquilcarboxilatos inducida por los cationes Na^+ y K^+ a trav s de la formaci n de complejos tipo "s ndwich".

En otro ejemplo reciente se describen nanopart culas de oro que est n recubiertas con dos tipos de mol culas org nicas: (i)  teres corona funcionalizados con agrupaciones alquitol y (ii)  cido ti tico (Figura 3).^[20] Dependiendo del tama o del  ter corona se puede detectar selectivamente el cati n Na^+ en presencia de K^+ o el cati n K^+ en presencia de Na^+ mediante cambios de color inducidos por la agregaci n de las nanopart culas. Estas nanopart culas han sido empleadas con  xito en la determinaci n del contenido en Na^+ y K^+ en muestras de orina.

La generaci n de una se al espectrosc pica producida por los cambios en el estado de agregaci n en presencia de un analito no est  restringida a las nanopart culas de oro. Tambi n se han descrito algunos ejemplos para puntos cu nticos de CdS.^[21] Chen y Rosenzweig sintetizaron varios puntos cu nticos de CdS modificados con ciertas mol culas org nicas y descubrieron que la funcionalizaci n con L-cisteina produjo un material que present  selectividad hacia el cati n Zn^{2+} . La presencia de Zn^{2+} fue capaz de inducir un aumento de la intensidad de emisi n del 50 %. La adici n de otros cationes met licos como Cu^{2+} , Ca^{2+} y Mg^{2+} , que generalmente compiten por la coordinaci n con el Zn^{2+} , no fueron capaces de modificar la intensidad de la emisi n. El aumento de la intensidad de emisi n en presencia del cati n Zn^{2+} fue asignado a la formaci n de clusters de puntos cu nticos que fueron detectados por microfluorimetr a.

Aproximaciones bio-mim ticas

El desarrollo de materiales h bridos nanoestructurados para reconocimiento bio-mim tico est  basado en la forma en la que la naturaleza se enfrenta a los problemas de la selectividad en el reconocimiento. As , muchas prote nas se coordinan fuertemente con ciertas especies qu micas en agua a trav s de interacciones d biles como enlaces de hidr geno o interacciones π . Esto es posible porque en estas prote nas la estructura coordinante o sitio activo est  embebido en un entorno altamente hidrof bico que es capaz de extraer el sustrato del agua. Estos sitios activos est n situados en una superestructura flexible que puede cerrarse sobre s  misma cuando entra

el sustrato espec fico dejando fuera a las mol culas de agua que, de otra manera, podr an competir por la coordinaci n con el sustrato.

Estas ideas han sido aplicadas en ciertos materiales silíceos mesoporosos ordenados con estructuras tridimensionales y multifuncionalizados. Despu s de funcionalizar la superficie con ciertas unidades coordinantes una segunda funcionalizaci n permite controlar la polaridad del interior de los poros. La selectividad de estos materiales h bridos es muy superior a la que presentan las mismas unidades coordinantes en disoluci n, no s lo por la presencia de un mayor n mero de unidades de coordinaci n en el interior de los poros, sino tambi n por el hecho de tener un control sobre el tama o y la polaridad del hueco. Este control adicional permite excluir a determinadas especies o acelerar los procesos de extracci n.

As , en uno de los primeros ejemplos, Lin y colaboradores funcionalizaron el interior de los poros de la MCM-41 con grupos hemitioacetal *o*-ft licos que son capaces de reaccionar con aminas para dar lugar a la formaci n de isoindoles altamente fluorescentes. Para aumentar la selectividad del sistema, los poros fueron co-funcionalizados adicionalmente con grupos alquilo o fenilo (Figura 4a).^[22] Alguno de estos s lidos h bridos fue capaz de diferenciar selectivamente entre la dopamina y la glucosamina. M s interesante fue el hecho de que esta selectividad no fuera observada cuando, en lugar de MCM-41 como material s lido, se emple  una silice amorfa funcionalizada con las mismas agrupaciones org nicas.

Recientemente se ha desarrollado un nuevo material h brido para la determinaci n de aminas biog nicas basado en el uso de MCM-41 y un derivado de pirilio como unidad sensora.^[23] Los derivados de pirilio reaccionan de manera inespec fica con aminas primarias para dar las correspondientes sales de piridinio con un cambio de color asociado (Figura 4b). Sin embargo, cuando el derivado de pirilio se ancla en el interior de los poros de un s lido tridimensional y, despu s, se hidrofoba el interior de los mismos mediante un segundo paso de funcionalizaci n, se obtienen materiales bio-mim ticos con una respuesta selectiva. Estos materiales h bridos fueron empleados en ensayos en medios acuosos reales y mostraron que solamente las aminas biog nicas, como por ejemplo la

Materiales híbridos en química analítica

histamina, son capaces de inducir la reacción y el consiguiente cambio de color mientras, que por ejemplo, los aminoácidos no fueron capaces de inducir ningún cambio. La presencia de aminas de cadena larga tampoco fue capaz de producir la reacción. El material híbrido permite pues discriminar claramente aminas por tamaño y polaridad y por lo tanto inducir un cambio de color selectivo.

La bifuncionalización de las paredes de los poros también puede dar lugar a efectos cooperativos en los procesos de coordinación. En otro ejemplo reciente, se describe la funcionalización de MCM-41 con derivados de urea-fenoxazinona como unidad cromofluorogénica y coordinante (Figura 4c).^[24] En disolución, la fenoxazinona se comporta como un receptor para aniones no selectivo. Sin embargo, su anclaje en el interior de los poros altamente hidrófobos de MCM-41 (obtenidos por pasivación de la superficie silícea con grupos trimetilsililo) genera un material con capacidad para detectar selectivamente ácidos grasos de cadena larga. Esta selectividad se explica porque el material híbrido extrae los ácidos grasos de cadena larga desde la fase acuosa al interior de los poros. De esta manera se facilita la interacción de los carboxilatos con el grupo urea de la fenoxazinona. Además, la presencia de interacciones de van der Waals entre las cadenas alquílicas de los ácidos grasos y la pared hidrofóbica también intervienen en la selectividad observada. Estos centros coordinantes artificiales responden selectivamente a carboxilatos

de cadena larga en agua pero no dan respuesta en presencia de carboxilatos de cadena corta, aniones inorgánicos, cationes y especies biológicas (triglicéridos y ácidos biliares). Aparentemente, sólo los analitos suficientemente hidrófobos son capaces de introducirse en el interior de los poros, coordinarse con la molécula indicadora a través de enlaces de hidrógeno e inducir un cambio significativo de color y fluorescencia.

Estos resultados demuestran que el reconocimiento molecular selectivo puede ser alcanzado tanto por métodos tradicionales, empleando conceptos de química supramolecular consistentes en sintetizar moléculas receptoras complejas, como mediante la combinación de estructuras inorgánicas nanoporosas con posibilidades de presentar interacciones específicas con los analitos que pueden ir desde débiles hasta relativamente fuertes. Un paso importante de cara a obtener materiales híbridos sensores con alta selectividad es el control de la polaridad en el interior de los poros.

Estas cavidades artificiales que contienen unidades coordinantes también se pueden emplear en ensayos de desplazamiento colorimétricos para aniones (Figura 5).^[25] Así, mediante una adecuada funcionalización, es posible inmovilizar moléculas de ciertos colorantes sobre el material al coordinar estas con los receptores presentes en las cavidades. Este enlace debe ser suficientemente fuerte, pero no selectivo, así la presencia de determinados aniones capaces de formar

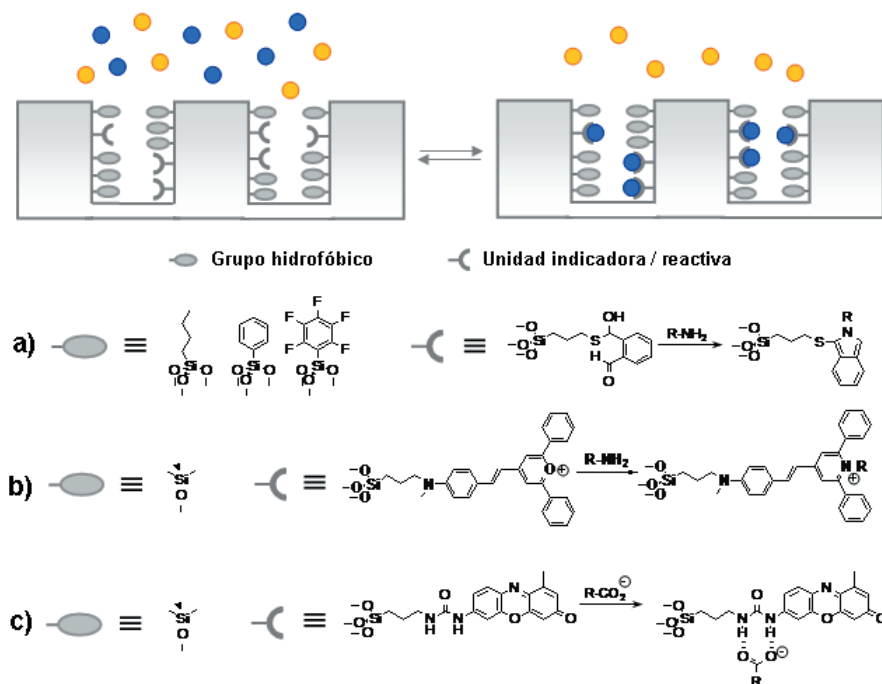
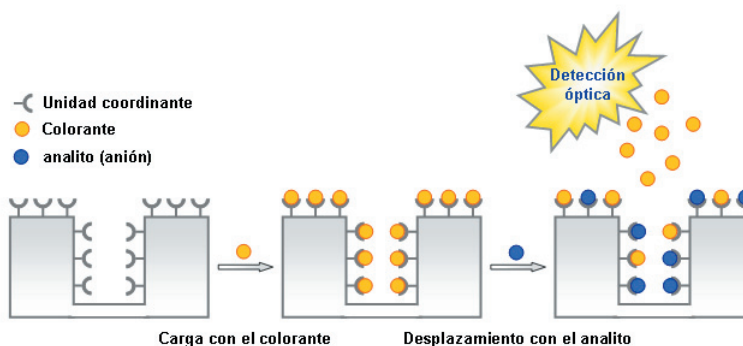


Figura 4. Sílice mesoporosa funcionalizada con grupos hidrófobos y con unidades coordinantes para el reconocimiento de aminas (a y b) o ácidos grasos (c).

Figura 5. Esquema del principio de funcionamiento de un ensayo de desplazamiento colorimétrico basado en materiales mesoporosos funcionalizados.



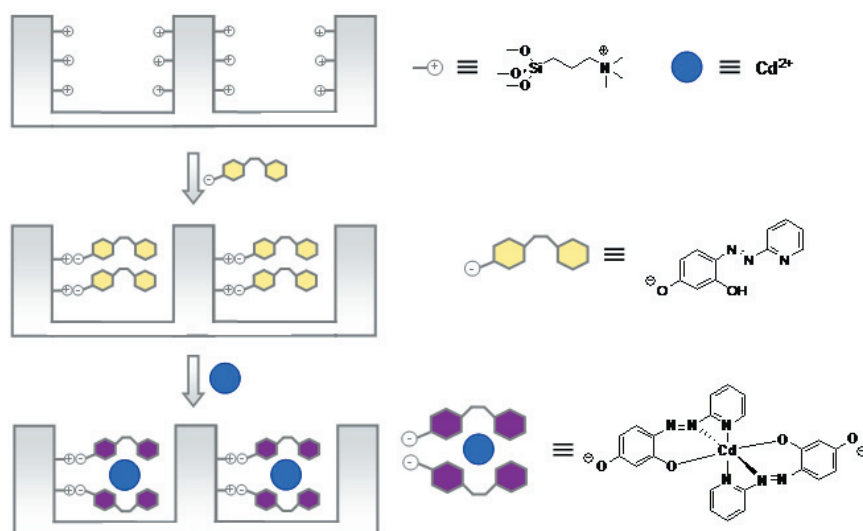


Figura 6. Esquema de un material sensor basado en SBA-15 con un colorante (PAR) fijado mediante interacciones electrostáticas para la detección colorimétrica de Cd^{2+} .

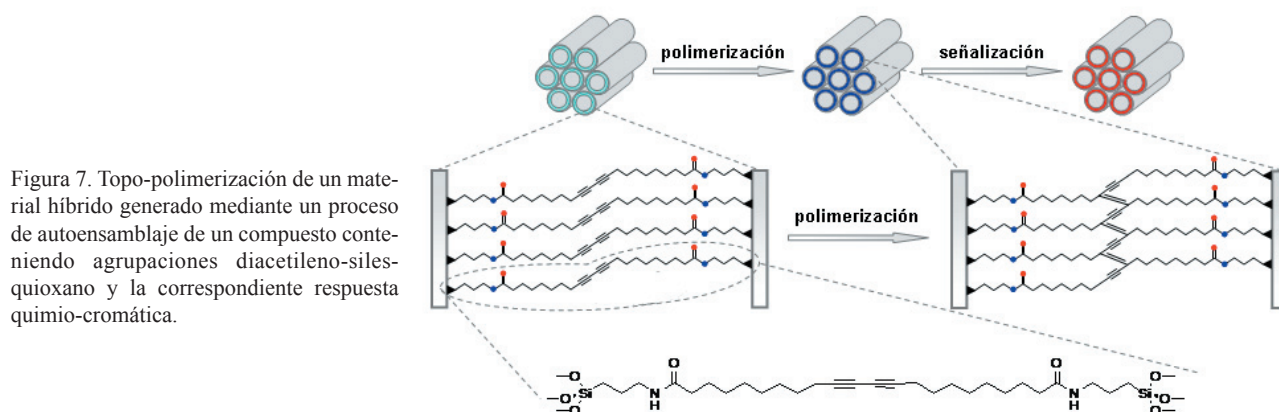


Figura 7. Topo-polimerización de un material híbrido generado mediante un proceso de autoensamblaje de un compuesto conteniendo agrupaciones diacetileno-siloxano y la correspondiente respuesta quimio-cromática.

enlaces más fuertes con las unidades coordinantes forzará el desplazamiento del colorante del sólido a la disolución produciéndose un cambio de color. Siguiendo este esquema se han preparado dos materiales híbridos basados en el sólido mesoporoso MCM-41. El primero se ha obtenido funcionalizando el interior de las cavidades con grupos guanidinio y se ha empleado para la detección de citrato con el colorante azul de metilimol. El segundo material, funcionalizado con carbohidratos en el interior de los poros, se ha empleado para la detección del anión borato con un colorante azoico funcionalizado con un ácido borónico.

Nuevas tendencias

Recientemente, Balaji y colaboradores han preparado un sensor óptico de bajo coste (fácil de preparar) para la detección de Cd^{2+} en medios acuosos.^[26] En este caso como material de soporte se ha empleado un sólido mesoporoso del tipo SBA-15^[27] con poros de 5–30 nm de diámetro. En el material se funcionalizó el interior de los poros con un espaciador orgánico conteniendo un grupo trimetilamonio terminal y, posteriormente, se ancló el 4-(2-piridilazo)resorcinol (PAR) mediante simples interacciones electrostáticas lo que evita procesos más complejos de anclaje. La presencia de Cd^{2+} induce un cambio de color de amarillo-naranja a violeta debido a la complejación con el PAR (Figura 6). Este material híbrido también presenta cierto grado de respuesta en presencia de Co^{2+} , Ni^{2+} , Cu^{2+} y Fe^{3+} que puede ser minimizada emplean-

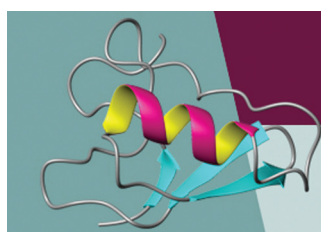
do reactivos enmascarantes. El material híbrido ha sido empleado con éxito en muestras reales y, debido a lo sencillo que resulta el anclaje del colorante, se puede anticipar que en un futuro esta aproximación puede dar lugar a una variedad de nuevos materiales sensores compuestos.

Otro material sensor con una estructura híbrida jerárquica basado en un esqueleto inorgánico y agrupaciones orgánicas ha sido sintetizado, en un paso, por autoensamblaje espontáneo de moléculas conteniendo agrupaciones diacetileno-siloxano en presencia de moléculas de surfactante (Figura 7).^[28] Después de la eliminación del surfactante y de un proceso de topo-polimerización se obtiene un material híbrido mesoporoso, ordenado y con propiedades termocrómicas reversibles que presenta una respuesta quimio-cromática y gran estabilidad térmica.

Como conclusión, la combinación de conceptos conocidos de química supramolecular y distintos tipos de soportes inorgánicos está dando lugar a la preparación de nuevos materiales híbridos que presentan propiedades optimizadas respecto al reconocimiento molecular y a la señalización en relación con posibles aplicaciones analíticas. Todos estos materiales híbridos tienen en común la presencia de efectos sinérgicos dando lugar a efectos que no se pueden obtener con los receptores anclados o con los sólidos nanoestructurados por separado. La presencia de estos efectos sinérgicos hace que estos materiales sean altamente atractivos y los hace potencialmente aplicables en el campo de las determinaciones analíticas.

Bibliograf a

- [1] J. M. Lehn, *Supramolecular Chemistry. Concepts and Perspectives*, VCH, Weinheim, **1995**.
- [2] R. Mart nez-M  nez, F. Sancen n, *Chem. Rev.* **2003**, *103*, 4419–4476.
- [3] P. D. Beer, P. A. Gale, *Angew. Chem. Int. Ed.* **2001**, *40*, 486–516.
- [4] S. L. Wiskur, H. A t-Haddou, J. J. Lavigne, E. V. Anslyn, *Acc. Chem. Res.*, **2001**, *34*, 963–972.
- [5] A. P. de Silva, H. Q. N. Gunaratne, T. Gunlaugsson, A. J. M. Huxley, C. P. McCoy, J. T. Rademacher, T. E. Rice, *Chem. Rev.* **1997**, *97*, 1515–1566.
- [6] R. Casas s, E. Aznar, M. D. Marcos, R. Mart nez-M  nez, F. Sancen n, J. Soto, P. Amor s, *Angew. Chem. Int. Ed.*, **2006**, *45*, 6661–6664.
- [7] C. Coll, R. Mart nez-M  nez, M. D. Marcos, F. Sancen n, J. Soto, *Angew. Chem. Int. Ed.* **2007**, *46*, 1675–1678.
- [8] P. D. Beer, D. P. Cormode, J. J. Davis, *Chem. Commun.*, **2004**, 414–415.
- [9] A. Callegari, M. Marcaccio, D. Paolucci, F. Paolucci, N. Tagmatarchis, D. Tasis, E. Vazquez, M. Prato, *Chem. Commun.* **2003**, 2576–2577.
- [10] S. Watanabe, M. Sonobe, M. Arai, Y. Tazume, T. Matsuo, T. Nakamura, K. Yoshida, *Chem. Commun.* **2002**, 2866–2867.
- [11] E. Brasola, F. Mancin, E. Rampazzo, P. Tecilla, U. Tonellato, *Chem. Commun.* **2003**, 3026–3027.
- [12] E. Katz, I. Willner, *Angew. Chem. Int. Ed.* **2004**, *43*, 6042–6108.
- [13] A. B. Descalzo, R. Mart nez-M  nez, F. Sancen n, K. Hoffmann, K. Rurack, *Angew. Chem. Int. Ed.* **2006**, *45*, 5924–5948.
- [14] R. C. Major, X.-Y. Zhu, *J. Am. Chem. Soc.* **2003**, *125*, 8454–8455.
- [15] C. T. Kresge, M. E. Leonowicz, W. J. Roth, J. C. Vartuli, J. S. Beck, *Nature* **1992**, *359*, 710–712.
- [16] A. B. Descalzo, D. Jim nez, M. D. Marcos, R. Mart nez-M  nez, J. Soto, J. El Haskouri, C. Guillem, D. Beltr n, P. Amor s, M. V. Borrachero, *Adv. Mater.* **2002**, *14*, 966–969.
- [17] M. Montalti, L. Prodi, N. Zaccheroni, *J. Mater. Chem.* **2005**, *15*, 2810–2814.
- [18] R. Zimmerman, L. Basabe-Desmonts, F. van der Baan, D. N. Reinhoudt, M. CregoCalama, *J. Mater. Chem.*, **2005**, *15*, 2772–2777.
- [19] J. Liu, Y. Lu, *J. Am. Chem. Soc.* **2003**, *125*, 6642–6643.
- [20] S. Y. Lin, C. H. Chen, M. C. Lin, H. F. Hsu, *Anal. Chem.* **2005**, *77*, 4821–4828.
- [21] Y. Chen, Z. Rosenzweig, *Anal. Chem.* **2002**, *74*, 5132–5138.
- [22] V. S.-Y. Lin, C.-Y. Lai, J. Huang, S.-A Song, S. Xu, *J. Am. Chem. Soc.* **2001**, *123*, 11510–11511.
- [23] B. Garc a-Acosta, M. Comes, J. L. Bricks, M. A. Kudinova, V. V. Kurdyukov, A. I. Tolmachev, A. B. Descalzo, M. D. Marcos, R. Mart nez-M  nez, A. Moreno, F. Sancen n, J. Soto, L. A. Villaescusa, K. Rurack, J. M. Barat, I. Escriche, P. Amor s, *Chem. Commun.* **2006**, 2239–2241.
- [24] A. B. Descalzo, K. Rurack, H. Weisshoff, R. Mart nez-M  nez, M. D. Marcos, P. Amor s, K. Hoffmann, J. Soto, *J. Am. Chem. Soc.* **2005**, *127*, 184–200.
- [25] M. Comes, G. Rodr guez-L pez, M. D. Marcos, R. Mart nez-M  nez, F. Sancen n, J. Soto, L. A. Villaescusa, P. Amor s, D. Beltr n, *Angew. Chem. Int. Ed.* **2005**, *44*, 2918–2922.
- [26] T. Balaji, M. Sasidharan, H. Matsunaga, *Anal. Bioanal. Chem.* **2006**, *384*, 488–494.
- [27] D. Y. Zhao, J. L. Feng, Q. S. Huo, N. Melosh, G. H. Fredrickson, G. F. Chmelka, G. D. Stucky, *Science* **1998**, *279*, 548–552.
- [28] H. Peng, J. Tang, L. Yang, J. Pang, H. S. Ashbaugh, C. J. Brinker, Z. Yang, Y. Lu, *J. Am. Chem. Soc.* **2006**, *128*, 5304–5305.



NMR: a tool for biology VIII

RMN : un outil pour la biologie VIII

January 28-30, 2008
Institut Pasteur, Paris, France



Theme of the conference.

Scientific Organizing Committee:

John Breslin, Varian
Muriel Delepierre, Institut Pasteur, Paris, France
Anne Lecroisey, Institut Pasteur, Paris, France
Paolo Santino, Varian

Contact

* For your registration inquiries and information concerning sponsorship:

Registration RMN VIII

Institut Pasteur
CIS/Gestion des Colloques
28 rue du Dr Roux - 75724 Paris cedex 15 - FRANCE
Fax : +33 (1) 4061 3721

* For information concerning your abstract:

Muriel Delepierre

Anne Lecroisey

Institut Pasteur

Unit  de R sonance Magn tique Nucl aire des
Biomol cules

25-28 rue du Dr Roux - 75724 Paris cedex 15 - FRANCE

Fax: +33 1 4568 8929

* Contact Varian:

Dialamba Sylla

Ce: dialamba.sylla@varianinc.com